

## 活性汚泥の圧縮沈降 (I)

九州大学工学部 学生員 ○綿引 緯一郎

熊本県 正員 久保田 修

九州大学工学部 正員 前田 哲也

九州大学工学部 正員 萩谷 陽一

1. まえがき 污泥処理プロセスにおいて、濃縮は種々の操作の前処理として行われる。このため、濃縮の影響は、後続の処理プロセスに影響を及ぼし、濃縮度の低下は汚泥処理プロセス全体の負担増加となる。濃縮には、一般に重力濃縮法が採用されているが、近年、汚泥の有機物含有量が増加し、それに伴ない濃縮度が低下している。機械濃縮による濃縮度の向上という方法もあるが、省エネルギーの観点から重力濃縮法の採用が望まれる。そのためにも、圧縮沈降の機構の解明は極めて今日的な課題であり、検討の価値が多いと考えられる。

本研究は、昨年に引き続き活性汚泥の圧縮沈降実験を行い、データーの蓄積に務めた。また実験開始時のSVIと透水係数及び固体分率の関係について検討を加えた。

2. 圧縮沈降の基礎式 圧縮沈降の基礎式を固相(汚泥の固体部分)と液相(汚泥の液体部分)とに分けると次に述べる仮定のもとに以下のようになる。  
 (i)汚泥の性状は均一である。  
 (ii)汚泥の固体成分及び液体の圧縮量は無視し得る。  
 (iii)汚泥の間隙は、水で完全に飽和されている。  
 (iv)汚泥中の水の排出は、一軸に行われ、そのときのレイノルズ数は固相にてても液相にてても十分、1より小さい。  
 (v)汚泥の圧縮も一軸的に行われる。  
 (vi)汚泥中の固相と液相間の相対速度は、汚泥全体の移動速度に左右されない。  
 (vii)沈降容器に基づく壁効果は無視できる。

## ○連続の式

$$\text{汚泥固相: } \frac{\partial \epsilon}{\partial t} - \frac{\partial V_s}{\partial x} = 0 \quad \dots \dots \dots (1)$$

$$\text{汚泥液相: } \frac{\partial \epsilon}{\partial t} + \frac{\partial V_L}{\partial x} = 0 \quad \dots \dots \dots (2)$$

## ○運動方程式

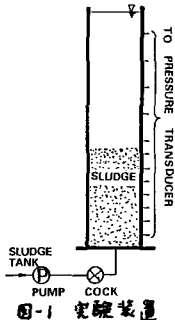
$$\text{汚泥固相: } \frac{\partial P_s}{\partial x} - \left[ \frac{\mu}{K} \left( V_L - \frac{\epsilon}{1-\epsilon} V_s \right) \right] + (1-\epsilon)(S_s - S_e)g = 0 \quad \dots \dots \dots (3)$$

$$\text{汚泥液相: } \frac{\partial P_s}{\partial x} + \left[ \frac{\mu}{K} \left( V_L - \frac{\epsilon}{1-\epsilon} V_s \right) \right] = 0 \quad \dots \dots \dots (4)$$

ただし、x軸は鉛直方向を正とし、  
 $P_s$ : 沈降した汚泥内の過剰間隙水圧、  
 $K$ : 透水係数、 $\mu$ : 汚泥液相の分子粘性係数、 $\epsilon$ : 空隙率、  
 $V_L$ : 汚泥液相の体積フラックス、 $V_s$ : 汚泥固相の体積フラックス、 $S_s$ : 汚泥液相の密度、 $S_e$ : 汚泥固相の密度である。

## 3. 実験装置及び方法 実験装置

は、図-1に示す内径2.5cm<sup>2</sup>(断面積363cm<sup>2</sup>)、高さ3m(総容量109L)のアクリル樹脂製である。この沈降筒には、過剰間隙水圧測定用の管(8mm)が圧力変換器(失重電業PG-10GC)を通して接続されて



いる。実験試料は福岡市東部下水処理場の返送汚泥(5000~6000mg/L)を用いた。採取してきた汚泥に、ガス発生による汚泥浮上を防ぐ目的で100gのトリクロロ酢酸(TCA)をMLSSに対して10%をえた。この汚泥を沈降筒に入れ実験を開始する。界面の等速沈降が終了した後、汚泥を数cm単位の層として取り出し、各層の乾燥質量と乾燥密度及び湿潤密度を求めた。固体分率は二種類の方法で求めた。第一は、採取した各層の汚泥乾燥質量から求めたもの(以下1-εと呼ぶ)であり、第二は同じ汚泥を湿潤状態で40mLとり遠心分離器に3000rpmで20分かけて(約1360g)分離した濃縮汚泥の体積より算出したもの(以下1-ε'と呼ぶ)である。回転時間は3000rpmのときにこれ以上回転時間を延ばしても汚泥の固相体積がほとんど変化しないことから求めた。

#### 4. 実験結果と考察 各実験

表-1 素混の性状

Run NO.	SI (kg/m <sup>3</sup> )	SNT	$\gamma^2$ (ton/m <sup>2</sup> )	Log-Set(%)	Height(cm)	Observation Period(hour)
1	4500	58.5	1.63	—	197.5	24
2	6000	60.0	1.82	—	198.2	24
3	6000	83.3	1.77	SL 0	298.0	48
4	6000	246.5	1.73	SL 0	298.0	48
5	6000	241.5	1.62	—	202.0	24
6	5955	141.6	1.77	77.5	35.0	24

$$g_{\epsilon} g_K = \alpha \cdot \left\{ \epsilon^3 / (1 - \epsilon)^2 \right\}^b \quad \dots \dots \dots \quad (5)$$

の関数形を表わし、係数  $a$ ,  $b$  を求めよ。係数  $a$ ,  $b$  と SVI の関係を、

図-3, 図-4に示す。SVIが増すにつれて、 $a$ は増加し、 $b$ は減少する傾向を示す。今回の実験結果の範囲では、SVIと $a$ 、 $b$ の間に明確な関数関係は求められなかつ。今後、種々のSVIの汚泥試料を用いた実験を行うことが必要と考えられる。

図-5, 図-6に有効応力と固体分率の関係を示す。ニニでは有効応力として湿潤状態の空隙率より計算した有効応力  $P'_s$  を用いた。図-5では  $P'_s$  と  $1-\varepsilon'$ , 図-6では  $P'_s$  と  $1-\varepsilon'$  を表わしている。前報の結果では有効応力は乾燥質量から求めた空隙率より計算した有効応力  $P_s$  を用い、粒子の固体部分により伝達された  $P_s$  と  $1-\varepsilon'$  は一義的な関係として表現されることはいた。実際には汚泥粒子は圧縮沈降下で、互いに接触し有効応力を伝えず。この場合、汚泥粒子は微生物を多く含むため、内部に水分を含んだ湿潤状態である。このため有効応力は  $P'_s$  を表現するのが適当と考えられる。図-5と図-6を較べると、 $P'_s$  の独立変数として  $1-\varepsilon'$  より  $1-\varepsilon$  のほうが実験結果のはらつきが小さい。したがって  $P'_s$  と  $\varepsilon$  を表わす独立変数として  $1-\varepsilon$  の方が  $1-\varepsilon'$  より好ましいことが解る。このことは、有効応力の伝達機構から推定される結果と一致している。

図-7に $1-e^{-x}$ と $1-x$ の関係を示す。 $1-e^{-x}$ と $1-x$ は面対数線上で直線の関係が認められる。一般の考観では必ずしも以下のような関数関係が成立すると考えにくいが、本報で用いた考観試料では次のような関係にある。

$$1 - \varepsilon' = 22.6 (1 - \varepsilon)^{1.05} \quad \dots \dots \dots \quad (6)$$

5. あとがき 今後の課題として、種々のSVIの実験試料を使い、汚泥の沈降実験を続けるとともに、トリクロロ酢酸を加えない無処理の汚泥試料に対しても同様の実験を行う予定である。

〈參考文獻〉

- り楠田哲也・古賀寛一・栗谷陽一：汚泥の沈降濃縮に関する研究、土木学会論文報告集第294号、1980年2月、pp. 59～71。

- 2)久保田修・栗谷陽一・楠田哲也・大石京子：活性汚泥の圧縮沈降、昭和58年度  
土木学会西部支部研究発表会講演概要集、pp. 134～135

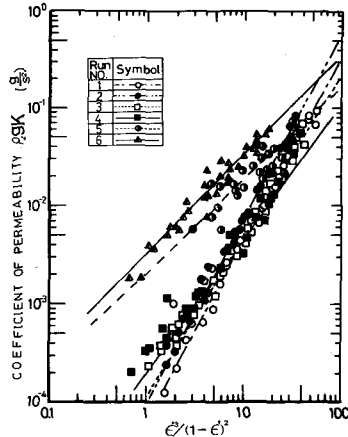


図-2 透水係数と空隙率の関係

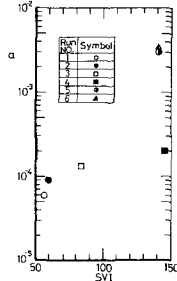


図-3 係数  $a$  と  
SVI の関係

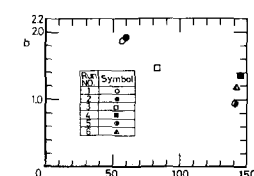


図-4 係数  $b$  と SVI  
の関係

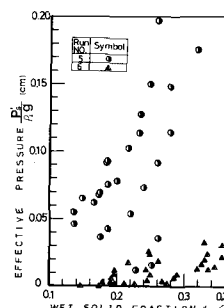


図-5 透水係数と  
(湿潤) 固体分率の関係

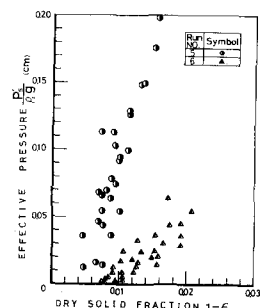
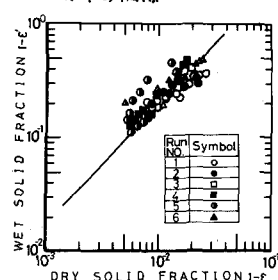


図-6 透水係数と(乾燥)固体分率の関係



### 図-7 湿潤状態と乾燥状態の固体分率の関係